

Skaler dalgaların silindirik horndan işimasının incelenmesi

Bahattin TÜRETKEN^{*}, Alinur BÜYÜKAKSOY, Ercan TOPUZ

İTÜ Elektrik-Elektronik Fakültesi, Elektronik ve Haberleşme Mühendisliği Bölümü, 34469, Ayazağa, İstanbul

Özet

Bu çalışmada silindirik bir horn yayıcıdan akustik dalgaların kırınımı incelenmiştir. Horn yayıcının duvarları rigid olduğu varsayılmıştır. İşinan uzak alan ifadesi Wiener-Hopf (WH) Tekniği kullanılarak çözülmüş ve sonuçta iki adet kuple integral denklem elde edilmiştir. Bu denklemler iterasyon metoduyla çözülmüş ve alan ifadesi bulunmuştur. Hornun dalga kılavuzu ve açıklık kısmında alan ifadesi sonsuz terimden oluşan Dini serileriyle ifade edilmiştir. WH denklemine faktorizasyon ve dekompozisyon tekniklerinin uygulanması ile Modifiye Wiener-Hopf denkleminin çözümü sonsuz bilinmeyenli, sonsuz boyutlu bir cebirsel lineer denklemin çözümüne indirgenmiştir. Analitik olarak elde edilen işinan ifadesi sayısal olarak incelenmiş ve değişik türden parametrelerin kırınan alana etkisi çıkarılmıştır.

Anahtar Kelimeler: Wiener-Hopf (WH) tekniği, silindirik horn, elektromagnetik saçılma.

Analysis of the radiation of scalar waves from a rigid cylindrical horn

Abstract

In the recent years, scattering problems have been extensively studied in the literature because of their importance in radiator analysis, studies and other microwave and acoustic applications. In the present work, the radiation of the acoustic waves in a circular waveguide horn formed by flaring out a circular waveguide is analyzed rigorously through the Wiener-Hopf (WH) Technique. It is assumed that the walls of the circular horn are rigid. The solution is obtained by modification of the Wiener-Hopf technique which resulted into infinite systems of linear algebraic equations. These equations were truncated and solved numerically. The advantage of the WH Technique over other methods is that it is rigorous in the sense that the edge condition is explicitly incorporated in the analysis and that it has the potential of providing accurate and reliable results over broad frequency ranges. Furthermore, contrary to some numerical techniques, which are efficient only when the problem involves finite boundaries of limited length, the WH method does not suffer from such restrictions. Numerical solutions and the experimental application of this study are obtained for various values of the problem. The parameters and the effects of these parameters on the diffraction phenomenon are investigated.

Keywords: Wiener-Hopf (WH) Technique, cylindrical horn, electromagnetic scattering.

*Yazışmaların yapılacak yazar: Bahattin Türetken. bturetken@yahoo.com; Tel: (262) 648 12 32.

Bu makale, birinci yazar tarafından İTÜ Elektrik Elektronik Fakültesi'nde tamamlanmış olan "Skaler dalgaların silindirik horndan işimasının incelenmesi" adlı doktora tezinden hazırlanmıştır. Makale metni 17.05.2002 tarihinde dergiye ulaşmış, 25.09.2002 tarihinde basım kararı alınmıştır. Makale ile ilgili tartışmalar 28.02.2003 tarihine kadar dergiye gönderilmelidir.

Giriş

Son yıllarda silindirik dalga kılavuzlarının ışma karakteristikleri önemli bir araştırma konusu olmuştur. Yarı sonsuz rigid bir borudan ışyan dalgaların analitik çözümü Levine ve Schwinger (1948) tarafından elde edilmiştir. Sonra Ando (1969) aynı problemi boru duvarlarının belirli bir kalınlığa sahip olduğu durumda incelemiştir. Rawlins (1978) iç yüzeyleri akustik yutucu malzemeyle kaplı rigid silindirik bir kanaldan akustik dalgaların ışimasını ele almıştır. Daha sonra Büyükkaksoy ve Polat (1998), Ando (1969) tarafından verilen problemin iç ve dışta empedans yüzeyleri olduğu durumda incelemiştir.

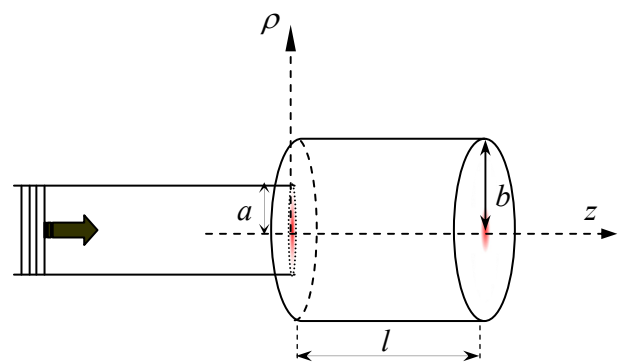
Bu çalışmada silindirik rigid bir horn yayıcıdan akustik (skaler) dalgaların ışaması incelenmiştir. Işınan uzak alan ifadesi Wiener-Hopf (WH) Tekniği kullanılarak elde edilmiştir. Hornun dalga kılavuzu ve açıklık kısmında alan ifadesi sonsuz terimden oluşan Dini serileriyle ifade edilmiştir. WH denklemine faktorizasyon ve dekompozisyon tekniklerinin uygulanması ile Modifiye Wiener-Hopf (MWH) denklemının çözümü sonsuz bilinmeyenli, sonsuz boyutlu üç adet cebirsel lineer denklemin çözümüne indirgenmiştir. Bu problemin incelemesi kendi başına önem taşıdığı gibi (Türetken v. dig., 2002) buradan elde edilen bilgi birikimi ve deneyimin elektromagnetik dalgaların silindirik horn antenden ışamasının incelenmesi probleminin çözümüne de katkı sağlayacaktır. Analitik olarak elde edilen işınan alan ifadesi sayısal olarak incelenmiştir. Değişik türden parametrelerin işınan alana etkisi araştırılmıştır. Elde edilen sonuçlar ile Ando (1968) tarafından verilen deneysel sonuçlar arasındaki benzerlik gösterilmiştir. Zaman faktörü $e^{-i\omega t}$ olarak kabul edilmiş ve hiçbir ifadede gösterilmemiştir.

Problemin analizi

(ρ, ϕ, z) silindirik koordinatları göstermek üzere $\rho = a$ silindiri içinde yayılan skaler bir dalganın Şekil 1'de gösterilen silindirik horn yayıcıdan ışmasını ele alalım. Problemin geometrisinin simetrik ve yayılan dalganın skaler bir dalga olması, açılan alanın her yerde ϕ 'den bağımsız olduğunu gösterir. Hornun tüm yüzeylerinin rigid olduğu varsayılmaktadır. Problemin analizini

kolayca yorumlayabilmek için toplam alanın bölgelerini alt bölgelerde ayrı ayrı ifade etmek uygun olacaktır:

$$u^T(\rho, z) = \begin{cases} u_1(\rho, z) ; \rho > b, z \in (-\infty, \infty) \\ u_2(\rho, z) ; \rho \in (a, b), z < 0 \\ u_3(\rho, z) + u^i(\rho, z); \rho \in (0, a), z < 0 \\ u_4(\rho, z) ; \rho \in (0, b), z \in (0, l) \\ u_5(\rho, z) ; \rho \in (0, b), z > l \end{cases} \quad (1)$$



Şekil 1. Silindirik horn

Burada, $u^i(\rho, z)$ dalga kılavuzu içinde soldan sağa yayılan skaler dalgayı yani uyarmayı göstermekte olup:

$$u^i(\rho, z) = e^{ikz} \quad (2)$$

gibidir, ve $k = \omega/c$ dalga sayısını göstermektedir. Analizin matematiksel olarak kolay yorumlanabilmesi için k 'nın küçükte olsa sıfırdan farklı (pozitif) bir sanal kısma sahip olduğunu ve $k = k_r + k_i$ şeklinde yazılabileceğini varsayıyacağız. Bu halde analiz sonunda elde ettiğimiz sonuçlarda $k_i \rightarrow 0$ yapıldığında boş uzaya ilişkin sonuçlar elde edilmiş olur.

Problemin simetrisi nedeniyle çeşitli bölgelerde yazılan $u_j(\rho, z)$, $j = 1-5$ alan ifadelerinin sağladığı Helmholtz denklemi aşağıdaki gibidir:

$$\left(\frac{1}{\rho} \frac{\partial}{\partial \rho} (\rho \frac{\partial}{\partial \rho}) + \frac{\partial^2}{\partial z^2} + k^2 \right) u_j(\rho, z) = 0 \quad (3)$$

$j = 1-5$

Çeşitli bölgelerdeki alanların sağlayacağı sınır ve süreklilik koşulları aşağıda verilmiştir:

$$\frac{\partial}{\partial \rho} u_1(b, z) = 0 ; z \in (0, l) \quad (4a)$$

$$\frac{\partial}{\partial \rho} u_2(a, z) = 0 ; z < 0 \quad (4b)$$

$$\frac{\partial}{\partial \rho} u_3(a, z) = 0 ; z \in (-\infty, 0) \quad (4c)$$

$$\frac{\partial}{\partial \rho} u_4(b, z) = 0 ; z \in (0, l) \quad (4d)$$

$$\frac{\partial u_2}{\partial z}(\rho, 0) = 0 ; \rho \in (a, b) \quad (4e)$$

$$\frac{\partial u_4}{\partial z}(\rho, 0) = 0 ; \rho \in (a, b) \quad (4f)$$

$$u_1(b, z) = u_2(b, z) ; z < 0 \quad (4g)$$

$$\frac{\partial u_1}{\partial \rho}(b, z) = \frac{\partial u_2}{\partial \rho}(b, z) ; z < 0 \quad (4h)$$

$$u_1(b, z) = u_5(b, z) ; z > l \quad (4i)$$

$$\frac{\partial u_1}{\partial \rho}(b, z) = \frac{\partial u_5}{\partial \rho}(b, z) ; z > l \quad (4j)$$

$$u_3(\rho, 0) + u^i(0) = u_4(\rho, 0) ; \rho \in (0, a) \quad (4k)$$

$$\frac{\partial}{\partial z} u_3(\rho, 0) + \frac{\partial}{\partial z} u^i(0) = \frac{\partial}{\partial z} u_4(\rho, 0) ; \rho \in (0, a) \quad (4l)$$

$$u_4(\rho, l) = u_5(\rho, l) ; \rho \in (0, b) \quad (4m)$$

$$\frac{\partial u_4}{\partial z}(\rho, l) = \frac{\partial u_5}{\partial z}(\rho, l) ; \rho \in (0, b) \quad (4n)$$

$$u \approx \frac{e^{ikr}}{r} , r = \sqrt{\rho^2 + z^2} \rightarrow \infty \quad (5)$$

büçimindedir. Ayrıca alanın çözümünün tekliği-ni garantiliyebilmek için $\rho = a$, $z = 0$ ve $\rho = b$, $z = l$ ayrıtlarında alanın davranışını bilmek gerekmektedir. Bu kenarlara ilişkin ayrıt koşulları:

$$u^T(b+0, z) = O(1), z \rightarrow -0 \quad (6a)$$

$$\frac{\partial}{\partial \rho} u^T(b+0, z) = O(z^{-1/3}), z \rightarrow -0 \quad (6b)$$

$$u^T(b, z) = \text{sabit}, z \rightarrow l+0 \quad (6c)$$

$$\frac{\partial}{\partial \rho} u^T(b, z) = O(z-l)^{-1/2}, z \rightarrow l+0 \quad (6d)$$

şeklindedir.

$\rho > b$ ve $z \in (-\infty, \infty)$ bölgesinde $u_1(\rho, z)$ fonksiyonu silindirik koordinatlarda (3) ile verilmiş Helmholtz denklemini sağlar. Bu denklemi $e^{i\alpha z}$ çarpıp ve $z = -\infty$ dan ∞ a kadar entegre edersek:

$$\left(\frac{1}{\rho} \frac{d}{d\rho} (\rho \frac{d}{d\rho}) + K(\alpha) \right) F(\rho, \alpha) = 0 \quad (7a)$$

buluruz. Burada:

$$F(\rho, \alpha) = F^-(\rho, \alpha) + F_1(\rho, \alpha) + e^{i\alpha l} F^+(\rho, \alpha) \quad (7b)$$

$$F^-(\rho, \alpha) = \int_{-\infty}^0 u_1(\rho, z) e^{i\alpha z} dz \quad (7c)$$

$$F_1(\rho, \alpha) = \int_0^l u_1(\rho, z) e^{i\alpha z} dz \quad (7d)$$

$$F^+(\rho, \alpha) = \int_l^\infty u_1(\rho, z) e^{i\alpha(z-l)} dz \quad (7e)$$

$$K(\alpha) = \sqrt{k^2 - \alpha^2} \quad (7f)$$

Toplam alanın çok uzaklara gidildikçe asimtotik davranışını, radyasyon koşulu uyarınca:

olarak tanımlanır. (7a) ifadesinin $\rho > b$ için radyasyon koşulunu sağlayan çözümü:

$$F(\rho, \alpha) = -A(\alpha) \frac{H_0^{(1)}(K\rho)}{K(\alpha)H_1^{(1)}(Kb)} \quad (8a)$$

şeklindedir. Burada $H_n^{(1)}$ n. dereceden birinci tip Hankel fonksiyonunu göstermek üzere:

$$H_n^{(1)} = J_n + iY_n \quad (8b)$$

olarak tanımlanmıştır. $A(\alpha)$ ise sonradan tanımlanacak spektral katsayıyı ifade etmektedir. (7f)'de açık ifadesi verilen $K(\alpha)$ karekök ifadesi kompleks α - düzleminde $K(0) = k$ olacak biçimde tanımlanmıştır. Kompleks düzlemede Fourier integralinin bilinen analitik özelliklerini nedeniyle $F^-(\rho, \alpha)$ fonksiyonu $\text{Im}(\alpha) < \text{Im}(k)$ yarı düzleminde, $F^+(\rho, \alpha)$ fonksiyonu da $\text{Im}(\alpha) > \text{Im}(-k)$ yarı düzleminde regüler fonksiyonlardır. (4a)'da verilen sınır koşuluna ait ifadenin Fourier dönüşümü alınırsa:

$$\dot{F}_1(b, \alpha) = 0 \quad (9)$$

elde edilir. (9) ifadesinde $(.)$ ρ 'ya göre türevi göstermektedir. (8a) ifadesinde her iki tarafın ρ 'ya göre türevi alınıp ve $\rho = b$ yazılır, (7b), (9) ve $\dot{H}_0^{(1)}(x) = H_1^{(1)}(x)$ 'den yararlanılırsa $A(\alpha)$ spektral katsayısı:

$$A(\alpha) = \dot{F}^-(b, \alpha) + e^{i\alpha l} \dot{F}^+(b, \alpha) \quad (10)$$

olarak elde edilir. Bu ifade gözönüne alınarak (8a) ifadesi yeniden düzenlenirse:

$$F^-(b, \alpha) + e^{i\alpha l} F^+(b, \alpha) = -F_1(b, \alpha) \\ - \left[\dot{F}^-(b, \alpha) + e^{i\alpha l} \dot{F}^+(b, \alpha) \right] \frac{H_0^{(1)}(Kb)}{K(\alpha)H_1^{(1)}(Kb)} \quad (11)$$

ifadesi elde edilir.

$a < \rho < b$ ve $z < 0$ bölgesinde $u_2(\rho, z)$, $0 < \rho < b$ ve $z > l$ bölgesinde ise $u_5(\rho, z)$ fonksiyonları için yazılacak Helmholtz denklemleri de α -domenine dönüştürülerek:

$$\left(\frac{1}{\rho} \frac{d}{d\rho} (\rho \frac{d}{d\rho}) + K^2(\alpha) \right) G^-(\rho, \alpha) = i\alpha f(\rho) \quad (12a)$$

$$\left(\frac{1}{\rho} \frac{d}{d\rho} (\rho \frac{d}{d\rho}) + K^2(\alpha) \right) G^+(\rho, \alpha) = g(\rho) - i\alpha h(\rho) \quad (12b)$$

elde edilir ve burada:

$$G^-(\rho, \alpha) = \int_{-\infty}^0 u_2(\rho, z) e^{i\alpha z} dz \quad (12c)$$

$$G^+(\rho, \alpha) = \int_l^\infty u_5(\rho, z) e^{i\alpha(z-l)} dz \quad (12d)$$

$$f(\rho) = u_2(\rho, 0), \quad g(\rho) = \frac{\partial}{\partial z} u_5(\rho, l), \quad (12e)$$

$$h(\rho) = u_5(\rho, l)$$

şeklinde tanımlıdır. (12c) ve (12d)'de tanımlanan G^- ve G^+ fonksiyonları sırasıyla $\text{Im}(\alpha) < \text{Im}(k)$ ve $\text{Im}(\alpha) > \text{Im}(-k)$ yarı düzlemlerinde regüler fonksiyonlardır. (12a) ve (12b) denklemlerinin çözümleri:

$$G^-(\rho, \alpha) = \frac{1}{M(\alpha)} \left\{ \begin{array}{l} \frac{\dot{F}^-(b, \alpha)}{K(\alpha)} \\ \times [J_0(K\rho)Y_1(Ka) - Y_0(K\rho)J_1(Ka)] \\ + i\alpha \int_a^b f(t)Q_1(t, \rho, \alpha) dt \end{array} \right\} \quad (13a)$$

$$G^+(\rho, \alpha) = \frac{1}{J_1(Kb)} \left\{ \begin{array}{l} -\frac{\dot{F}^+(b, \alpha)}{K(\alpha)} J_0(K\rho) \\ + \int_0^b [g(t) - i\alpha h(t)] Q_2(t, \rho, \alpha) dt \end{array} \right\} \quad (13b)$$

şeklindedir ve burada:

$$Q_1(\rho, t, \alpha) = \frac{\pi}{2} \times \begin{cases} \left\{ \begin{array}{l} [J_0(K\rho)Y_1(Ka) - J_1(Ka)Y_0(K\rho)] \\ \times [J_0(Kt)Y_1(Kb) - J_1(Kb)Y_0(Kt)] \end{array} \right\}, & a \leq \rho \leq t \\ \left\{ \begin{array}{l} [J_0(K\rho)Y_1(Kb) - J_1(Kb)Y_0(K\rho)] \\ \times [J_0(Kt)Y_1(Ka) - J_1(Ka)Y_0(Kt)] \end{array} \right\}, & t \leq \rho \leq b \end{cases} \quad (13c)$$

$$Q_2(\rho, t, \alpha) = \frac{\pi}{2} \times \begin{cases} \left\{ \begin{array}{l} J_0(K\rho) \\ \times [J_1(Kb)Y_0(Kt) - J_0(Kt)Y_1(Kb)] \end{array} \right\}, & 0 \leq \rho \leq t \\ \left\{ \begin{array}{l} J_0(Kt) \\ \times [J_1(Kb)Y_0(K\rho) - J_0(K\rho)Y_1(Kb)] \end{array} \right\}, & t \leq \rho \leq b \end{cases} \quad (13d)$$

$$M(\alpha) = [J_1(Ka)Y_1(Kb) - J_1(Kb)Y_1(Ka)] \quad (13e)$$

şeklindedir.

f, g, h 'lar ise (12e) ile verilmiştir. (13a) ve (13b)'nin sol tarafları $\text{Im}(\alpha) < \text{Im}(k)$ alt ve $\text{Im}(\alpha) > \text{Im}(-k)$ ve üst yarı düzlemlerde regüler fonksiyonlardır. Bu denklemlerin sağ tarafları da aynı özelliği göstereceğinden $\alpha = -\delta_m$, $\text{Im}(\delta_m) > \text{Im}(k)$ ve $\alpha = \alpha_m$, $\text{Im}(\alpha_m) > \text{Im}(k)$ oluşan kutuplar kaldırılmalıdır. Bunun için bu kutuplardaki rezidüleri sıfır yapmak gereklidir:

$$J_1(Z_m a)Y_1(Z_m b) - J_1(Z_m b)Y_1(Z_m a) = 0, \quad (14a)$$

$$Z_m = K(-\delta_m), \quad m = 0, 1, 2, \dots$$

$$J_1(\xi_m) = 0, \quad \alpha_m = \sqrt{k^2 - \left(\frac{\xi_m}{b}\right)^2}, \quad (14b)$$

$$m = 0, 1, 2, \dots$$

böylece:

$$\dot{F}^-(b, -\delta_m) = -\frac{i\pi}{2} \delta_m Z_m \frac{J_1(Z_m b)}{J_1(Z_m a)}$$

$$\times \int_a^b f(t) [J_1(Z_m a)Y_0(Z_m t) - J_0(Z_m t)Y_1(Z_m a)] dt \quad (15a)$$

$$m = 0, 1, 2, \dots$$

$$\dot{F}^+(b, \alpha_m) = -\frac{\pi}{2} \xi_m Y_1(\xi_m) \int_0^b [g(t) - i\alpha h(t)] J_0\left(\frac{\xi_m}{b} t\right) dt \quad (15b)$$

$$m \neq 0$$

$$\dot{F}_+(b, k) = \frac{1}{b} \int_0^b [g(t) - ikh(t)] dt, \quad m = 0 \quad (15c)$$

elde edilir. (4g) ve (4i) süreklilik şartları Fourier dönüşümü alınarak düzenlenirse:

$$F^-(b, \alpha) + e^{i\alpha b} F^+(b, \alpha) = G^-(b, \alpha) + e^{i\alpha b} G^+(b, \alpha) \quad (16)$$

elde edilir. (15a-b)'de verilen $f(t)$, $g(t)$ ve $h(t)$ fonksiyonları dik fonksiyonlarını cinsinden serilere açarsak (Sneddon, 1972):

$$f(t) = \sum_{m=0}^{\infty} f_m [J_1(Z_m a)Y_0(Z_m t) - Y_1(Z_m a)J_0(Z_m t)] \quad (17a)$$

$$h(t) = \sum_{m=0}^{\infty} h_m J_0\left(\frac{\xi_m}{b} t\right) \quad (17b)$$

$$g(t) = \sum_{m=0}^{\infty} g_m J_0\left(\frac{\xi_m}{b} t\right) \quad (17c)$$

olur. Burada f_m, g_m ve h_m sırasıyla (Watson, 1958):

$$f_m = \frac{\pi^2}{2} \frac{J_1^2(Z_m b)Z_m^2}{J_1^2(Z_m a) - J_1^2(Z_m b)} \times \int_a^b f(t) [J_1(Z_m a)Y_0(Z_m t) - Y_1(Z_m a)J_0(Z_m t)] dt \quad (18a)$$

$$h_m = \frac{2}{b^2 J_0^2(\xi_m)} \int_0^b h(t) J_0\left(\frac{\xi_m}{b} t\right) dt \quad (18b)$$

$$m \neq 0$$

$$h_0 = \frac{2}{b^2} \int_0^b h(t) dt \quad (18c)$$

$$m = 0$$

$$g_m = \frac{2}{b^2 J_0^2(\xi_m)} \int_0^b g(t) J_0\left(\frac{\xi_m}{b} t\right) t dt \quad (18d)$$

$m \neq 0$

$$g_0 = \frac{2}{b^2} \int_0^b g(t) t dt \quad (18e)$$

$m = 0$

olarak bulunur. (16), (17a-c) ve (18a-e) ifadelemini kullanarak ara işlemler gözardi edilirse $\operatorname{Im}(-k) < \operatorname{Im}(\alpha) < \operatorname{Im}(k)$ bandında geçerli olan Üçüncü tip Modifiye Wiener-Hopf Denklemi:

$$\begin{aligned} & -\frac{b}{2} F_1(b, \alpha) + \frac{\dot{F}^-(b, \alpha)}{K^2(\alpha)} L(\alpha) \\ & + \frac{e^{i\alpha b} \dot{F}^+(b, \alpha)}{K^2(\alpha) N(\alpha)} \\ & = \frac{i\alpha}{\pi} \sum_{m=0}^{\infty} \frac{J_1(Z_m a)}{J_1(Z_m b)} \frac{1}{\delta_m^2 - \alpha^2} \frac{f_m}{Z_m} \\ & + e^{i\alpha b} \frac{b}{2} \sum_{m=0}^{\infty} \frac{J_0(\xi_m)}{\alpha_m^2 - \alpha^2} [g_m - i\alpha h_m] \end{aligned} \quad (19a)$$

$$N(\alpha) = \pi i J_1(Kb) H_1^{(1)}(Kb) \quad (19b)$$

$$L(\alpha) = \frac{H_1^{(1)}(Ka)}{\pi H_1^{(1)}(Kb) M(\alpha)} \quad (19c)$$

şeklinde elde edilmiş olur.

Modifiye Wiener-Hopf denkleminin yaklaşık çözümü

Wiener-Hopf denklemini çözmek için her şeyden önce $N(\alpha)$ ve $L(\alpha)$ çekirdek fonksiyonlarını Wiener-Hopf anlamında, yani:

$$N(\alpha) = N^+(\alpha) N^-(\alpha) \quad (20a)$$

$$L(\alpha) = L^+(\alpha) L^-(\alpha) \quad (20b)$$

şeklinde çarpanlarına ayırtmak gereklidir.

Burada $N^+(\alpha)$, $L^+(\alpha)$ ve $N^-(\alpha) = N^+(-\alpha)$,

$L^-(\alpha) = L^+(-\alpha)$ sırasıyla $\operatorname{Im}(\alpha) > \operatorname{Im}(-k)$ ve $\operatorname{Im}(\alpha) < \operatorname{Im}(k)$ yarı-düzlemlerde regüler ve sıfırları olmayan fonksiyonlardır. $N^+(\alpha)$ ve $L^+(\alpha)$ 'nin açık ifadeleri:

$$\begin{aligned} N^+(\alpha) &= \left[\pi i J_1(kb) H_1^{(1)}(kb) \right]^{1/2} \\ &\times \exp \left\{ i \frac{\alpha b}{\pi} \left[1 - C + \ln \left(\frac{2\pi}{kb} \right) + i \frac{\pi}{2} \right] - i \frac{kb}{2} \right\} \\ &\times \exp \left\{ \frac{K(\alpha)b}{\pi} \ln \left(\frac{\alpha + iK(\alpha)}{k} \right) + q_1(\alpha) \right\} \\ &\times \prod_{m=1}^{\infty} \left(1 + \frac{\alpha}{\alpha_m} \right) \exp \left(\frac{i\alpha b}{m\pi} \right) \end{aligned} \quad (21a)$$

$$\begin{aligned} L^+(\alpha) &= \left[\frac{H_1^{(1)}(ka)}{\pi H_1^{(1)}(kb) [J_1(ka) Y_1(kb) - J_1(kb) Y_1(ka)]} \right]^{1/2} \\ &\times \exp \left[\frac{i k (b-a)}{2} \right. \\ &\left. + \frac{(k^2 - \alpha^2)^{1/2} (b-a)}{\pi} \ln \frac{\alpha + i(k^2 - \alpha^2)^{1/2}}{k} \right. \\ &\left. + q_2(\alpha) - q_1(\alpha) \right] \end{aligned}$$

$$\begin{aligned} &\times \prod_{m=1}^{\infty} \frac{1}{\left(1 + \frac{\alpha}{\gamma_m} \right) e^{-\alpha/\gamma_m}} \\ &\exp \left(\frac{\alpha}{\pi a} (b-a) \left[1 - C + \ln \left(\frac{2\pi i}{k(b-a)} \right) \right] \right) \end{aligned} \quad (21b)$$

şeklinde olup, burada $C = 0.57721\dots$ ile verilmiş Euler sabitini, $q_1(\alpha)$ ve $q_2(\alpha)$ 'da

$$q_1(\alpha) = \frac{1}{\pi} P \int_0^\infty \left[1 - \frac{2}{\pi x} \frac{1}{J_1^2(x) + Y_1^2(x)} \right] dx \quad (21c)$$

$$\times \ln \left(1 + \frac{\alpha b}{[(kb)^2 - x^2]^{1/2}} \right) dx$$

$$\begin{aligned} q_2(\alpha) &= \frac{1}{\pi} P \int_0^\infty \left[1 - \frac{2}{\pi x} \frac{1}{J_1^2(x) + Y_1^2(x)} \right] dx \\ &\times \ln \left(1 + \frac{\alpha a}{[(ka)^2 - x^2]^{1/2}} \right) dx \end{aligned} \quad (21d)$$

şeklindeki integraller ile tanımlanmış fonksiyonları göstermektedir. Bu ifadelerde gözüken P , $x = ka$ ve $x = kb$ tekiliklerindeki Cauchy asal değerini göstermektedir. Kendi regülerlik bölgelerinde $|\alpha| \rightarrow \infty$ yapıldığında:

$$N^\pm(\alpha) \approx (\pm\alpha)^{-1/2} \quad (21e)$$

$$L^\pm(\alpha) \approx (\pm\alpha)^{1/2} \quad (21f)$$

şeklindeki gibi davranış gösterirler. Liouville teoremi ile birlikte faktorizasyon ve dekompozisyon işlemleri (19a) ile verilen MWH denklemine uygulanırsa:

$$\begin{aligned} & \frac{\dot{F}^+(b, \alpha)}{(k + \alpha)N^+(\alpha)} \\ &= -\frac{1}{2\pi i} \int_{L^+} \frac{\dot{F}^-(b, \tau)N^-(\tau)L^-(\tau)L^+(\tau)e^{-i\tau l}}{(k + \tau)(\tau - \alpha)} d\tau \\ &+ \frac{b}{2} \sum_{m=0}^{\infty} \frac{J_0(\xi_m)[g_m + i\alpha_m h_m](k + \alpha_m)N^+(\alpha_m)}{2\alpha_m(\alpha + \alpha_m)} \\ &- \frac{i}{2\pi} \sum_{m=0}^{\infty} S_m \frac{k + \delta_m}{\delta_m + \alpha} N^+(\delta_m) e^{i\delta_m l} \end{aligned} \quad (22a)$$

$$\begin{aligned} & \frac{\dot{F}^-(b, \alpha)L^-(\alpha)}{(k - \alpha)} \\ &= \frac{1}{2\pi i} \int_{L^-} \frac{\dot{F}^+(b, \tau)e^{i\tau l}}{(k - \tau)N^-(\tau)N^+(\tau)L^+(\tau)(\tau - \alpha)} d\tau \\ &- \frac{b}{2} \sum_{m=0}^{\infty} \frac{J_0(\xi_m)[g_m - i\alpha_m h_m](k + \alpha_m)e^{i\alpha_m l}}{2\alpha_m(\alpha - \alpha_m)L^+(\alpha_m)} \\ &+ \frac{i}{2\pi} \sum_{m=0}^{\infty} S_m \frac{k + \delta_m}{\delta_m - \alpha} \frac{1}{L^+(\delta_m)} \end{aligned} \quad (22b)$$

$$S_m = \frac{f_m}{Z_m} \frac{J_1(Z_m a)}{J_1(Z_m b)} \quad (22c)$$

şeklinde ikinci dereceden Fredholm integral denklem takımı elde edilmiş olur. kl yeterince büyük olduğunda, bu denklemlerin sağ tarafında gözüken serbest terimler birinci mertebeden çözümlere karşı gelirler. İkinci (üçüncü...) mertebe

çözümleri, birinci (ikinci,...) mertebeden çözümleri (22a) ve (22b) denklemelerinin sağ taraflarında yerine konarak elde edilir ve:

$$\dot{F}^-(b, \alpha) = \dot{F}^{-(1)}(b, \alpha) + \dot{F}^{-(2)}(b, \alpha) + \dots \quad (23a)$$

$$\dot{F}^+(b, \alpha) = \dot{F}^{+(1)}(b, \alpha) + \dot{F}^{+(2)}(b, \alpha) + \dots \quad (23b)$$

yazılır. Birinci mertebe çözümler ilk ötelemeyele:

$$\begin{aligned} & \frac{\dot{F}^{+(1)}(b, \alpha)}{(k + \alpha)N^+(\alpha)} \\ &= \frac{b}{2} \sum_{m=0}^{\infty} \frac{J_0(\xi_m)[g_m + i\alpha_m h_m](k + \alpha_m)N^+(\alpha_m)}{2\alpha_m(\alpha + \alpha_m)} \\ &- \frac{i}{2\pi} \sum_{m=0}^{\infty} S_m \frac{k + \delta_m}{\delta_m + \alpha} N^+(\delta_m) e^{i\delta_m l} \end{aligned} \quad (23c)$$

$$\begin{aligned} & \frac{\dot{F}^{-(1)}(b, \alpha)L^-(\alpha)}{(k - \alpha)} \\ &= -\frac{b}{2} \sum_{m=0}^{\infty} \frac{J_0(\xi_m)[g_m - i\alpha_m h_m](k + \alpha_m)e^{i\alpha_m l}}{2\alpha_m(\alpha - \alpha_m)L^+(\alpha_m)} \\ &+ \frac{i}{2\pi} \sum_{m=0}^{\infty} S_m \frac{k + \delta_m}{\delta_m - \alpha} \frac{1}{L^+(\delta_m)} \end{aligned} \quad (23d)$$

şeklinde olup, ikinci mertebe çözümler ise:

$$\begin{aligned} & \frac{\dot{F}^{+(2)}(b, \alpha)}{(k + \alpha)N^+(\alpha)} \\ &= -\frac{b}{2} \sum_{m=0}^{\infty} \frac{J_0(\xi_m)[g_m - i\alpha_m h_m](k + \alpha_m)e^{i\alpha_m l}}{2\alpha_m L^+(\alpha_m)} I_1(\alpha) \\ &+ \frac{i}{2\pi} \sum_{m=0}^{\infty} S_m \frac{k + \delta_m}{L^+(\delta_m)} I_2(\alpha) \end{aligned} \quad (23e)$$

$$\begin{aligned} & \frac{\dot{F}^{-(2)}(b, \alpha)L^-(\alpha)}{(k - \alpha)} \\ &= \frac{b}{2} \times \sum_{m=0}^{\infty} \frac{J_0(\xi_m)[g_m + i\alpha_m h_m](k + \alpha_m)N^+(\alpha_m)}{2\alpha_m} I_3(\alpha) \\ &- \frac{i}{2\pi} \sum_{m=0}^{\infty} S_m (k + \delta_m) N^+(\delta_m) e^{i\delta_m l} I_4(\alpha) \end{aligned} \quad (23f)$$

şeklindedir. Burada I_i $i=1,2,3$ gösterilen integral

ifadeleri:

$$I_1(\alpha) = -\frac{1}{2\pi i} \int_{L^+} \frac{N^-(\tau)L(\tau)(k-\tau)e^{-i\tau}}{(k+\tau)(\tau-\alpha_m)L^-(\tau)} \frac{d\tau}{(\tau-\alpha)} \quad (24a)$$

$$I_2(\alpha) = -\frac{1}{2\pi i} \int_{L^+} \frac{N^-(\tau)L(\tau)(k-\tau)e^{-i\tau}}{L^-(\tau)(\delta_m-\tau)(k+\tau)} \frac{d\tau}{(\tau-\alpha)} \quad (24b)$$

$$I_1(\alpha) = -(kb)^2 \frac{N^+(k)}{L^+(k)(k+\alpha_m)} e^{ikl} W_{-1/2}(-il(\alpha+k)) + \frac{2k\pi b^2}{(a^2-b^2)} \frac{N^+(k)e^{ikl}}{L^+(k)(k+\alpha)(k+\alpha_m)} \\ + \sum_{n=0}^{\infty} \frac{(k+\delta_n)N^+(\delta_n)H_1^1(Z_n a)e^{i\delta_n l}}{(k-\delta_n)H_1^1(Z_n b)L^+(\delta_n)(\delta_n+\alpha_m)(\delta_n+\alpha)\dot{M}(-\delta_n)} \quad (24e)$$

$$I_2(\alpha) = (kb)^2 \frac{N^+(k)}{L^+(k)} \frac{e^{ikl}}{(k+\delta_n)} W_{-1/2}(-il(\alpha+k)) - \frac{2k\pi b^2}{(a^2-b^2)} \frac{N^+(k)e^{ikl}}{L^+(k)(k+\alpha)(k+\delta_m)} \\ - \sum_{n=0}^{\infty} \frac{(k+\delta_n)N^+(\delta_n)H_1^1(Z_n a)e^{i\delta_n l}}{(\delta_m+\delta_n)(k-\delta_n)H_1^1(Z_n b)L^+(\delta_n)(\delta_n+\alpha)\dot{M}(-\delta_n)} \quad (24f)$$

$$I_3(\alpha) \approx (kb)^2 \frac{N^+(k)}{L^+(k)(\alpha_m+k)} e^{ikl} W_{-1/2}(il(\alpha-k)) - \frac{1}{2} \sum_{n=0}^{\infty} \frac{N^+(\alpha_n)(k+\alpha_n)^2 e^{i\alpha_n l}}{\alpha_n(\alpha-\alpha_n)(\alpha_n+\alpha_m)L^+(\alpha_n)} \quad (24g)$$

$$I_4(\alpha) = (kb)^2 \frac{N^+(k)}{L^+(k)(\delta_m+k)} e^{ikl} W_{-1/2}(il(\alpha-k)) - \frac{1}{2} \sum_{n=0}^{\infty} \frac{N^+(\alpha_n)(k+\alpha_n)^2 e^{i\alpha_n l}}{\alpha_n(\alpha-\alpha_n)(\delta_n+\delta_m)L^+(\alpha_n)} \quad (24h)$$

$W_{-1/2}(\zeta)$ fonksiyonu Whittaker (1902)' de verilen $W_{-1/2,0}(\zeta)$ Whittekar fonksiyonu ile arasındaki bağıntı:

$$W_{-1/2}(\zeta) = \exp(\zeta/2) \zeta^{-1/2} W_{-1/2,0}(\zeta) \quad (24i)$$

biçimindedir.

Dalgakılavuzu ve açıklık bölgesindeki alan ifadesi

$0 < \rho < a$ ve $z < 0$ bölgesinde saçılan alan $u_3(\rho, z)$ silindirik koordinatlarda yazılmış Helmholtz denklemi sağlar. Alanın çözümü:

$$u_3(\rho, z) = \sum_{n=0}^{\infty} a_n e^{-j\beta_n z} J_0(\xi_n \frac{\rho}{a}) \quad (25a)$$

$$I_3(\alpha) = \frac{1}{2\pi i} \int_L \frac{N^+(\tau)(k+\tau)e^{i\tau}}{(k-\tau)N(\tau)L^+(\tau)(\tau+\alpha_m)} \frac{d\tau}{(\tau-\alpha)} \quad (24c)$$

$$I_4(\alpha) = \frac{1}{2\pi i} \int_L \frac{N^+(\tau)(k+\tau)e^{i\tau}}{(k-\tau)N(\tau)L^+(\tau)(\delta_m+\tau)(\tau-\alpha)} d\tau \quad (24d)$$

şeklindedir. (24a-d) ile verilen integral ifadelerin çözümleri sırasıyla aşağıda verilmektedir:

$$I_1(\alpha) = -(kb)^2 \frac{N^+(k)}{L^+(k)(k+\alpha_m)} e^{ikl} W_{-1/2}(-il(\alpha+k)) + \frac{2k\pi b^2}{(a^2-b^2)} \frac{N^+(k)e^{ikl}}{L^+(k)(k+\alpha)(k+\alpha_m)} \\ + \sum_{n=0}^{\infty} \frac{(k+\delta_n)N^+(\delta_n)H_1^1(Z_n a)e^{i\delta_n l}}{(k-\delta_n)H_1^1(Z_n b)L^+(\delta_n)(\delta_n+\alpha_m)(\delta_n+\alpha)\dot{M}(-\delta_n)} \quad (24e)$$

$$I_2(\alpha) = (kb)^2 \frac{N^+(k)}{L^+(k)} \frac{e^{ikl}}{(k+\delta_n)} W_{-1/2}(-il(\alpha+k)) - \frac{2k\pi b^2}{(a^2-b^2)} \frac{N^+(k)e^{ikl}}{L^+(k)(k+\alpha)(k+\delta_m)} \\ - \sum_{n=0}^{\infty} \frac{(k+\delta_n)N^+(\delta_n)H_1^1(Z_n a)e^{i\delta_n l}}{(\delta_m+\delta_n)(k-\delta_n)H_1^1(Z_n b)L^+(\delta_n)(\delta_n+\alpha)\dot{M}(-\delta_n)} \quad (24f)$$

$$I_3(\alpha) \approx (kb)^2 \frac{N^+(k)}{L^+(k)(\alpha_m+k)} e^{ikl} W_{-1/2}(il(\alpha-k)) - \frac{1}{2} \sum_{n=0}^{\infty} \frac{N^+(\alpha_n)(k+\alpha_n)^2 e^{i\alpha_n l}}{\alpha_n(\alpha-\alpha_n)(\alpha_n+\alpha_m)L^+(\alpha_n)} \quad (24g)$$

$$I_4(\alpha) = (kb)^2 \frac{N^+(k)}{L^+(k)(\delta_m+k)} e^{ikl} W_{-1/2}(il(\alpha-k)) - \frac{1}{2} \sum_{n=0}^{\infty} \frac{N^+(\alpha_n)(k+\alpha_n)^2 e^{i\alpha_n l}}{\alpha_n(\alpha-\alpha_n)(\delta_n+\delta_m)L^+(\alpha_n)} \quad (24h)$$

şeklindedir, burada β_n :

$$\beta_n = \sqrt{k^2 - \left(\frac{\xi_n}{a}\right)^2} \quad (25b)$$

biçiminde tanımlanır. (25a,b)' deki ξ_n ' ler (4c) uyarınca yazılan:

$$J_1(\xi_n) = 0, \quad n = 0, 1, 2, \dots \quad (25c)$$

birinci dereceden Bessel fonksiyonlarının köküdür.

Benzer şekilde $0 < \rho < b$ ve $0 < z < l$ bölgesinde saçılan alan $u_4(\rho, z)$ silindirik koordinatlarda

yazılmış Helmholtz denkleminin çözümü:

$$u_4(\rho, z) = \sum_{n=0}^{\infty} \left(b_n e^{j\alpha_n z} + c_n e^{-j\alpha_n z} \right) J_0\left(\xi_n \frac{\rho}{b}\right) \quad (25d)$$

şeklindedir, burada α_n :

$$\alpha_n = \sqrt{k^2 - \left(\frac{\xi_n}{b}\right)^2} \quad (25e)$$

şeklinde ifade edilir.

(4j-m) sınır koşulları (12e) ile birlikte düşünülür ve ara işlemler gözardı edilirse:

$$k(a^2 + b^2)b_0 - k(b^2 - a^2)c_0 + 2kab \sum_{n=1}^{\infty} (b_n - c_n) \frac{J_1\left(\frac{\xi_n a}{b}\right)}{\xi_n} = 2ka^2 \quad (26a)$$

$$r = 0$$

$$\alpha_r(b_r - c_r) \frac{b^2}{2} J_0^2(\xi_r) + \frac{2}{b} \sum_{m=0}^{\infty} \left\{ (b_m + c_m) \xi_m J_1\left(\frac{\xi_m}{b} a\right) \times \sum_{n=1}^{\infty} \frac{\beta_n \xi_r J_1\left(\frac{\xi_r}{b} a\right)}{\left[(\xi_r/b)^2 - (\xi_n/a)^2\right] \left[(\xi_m/b)^2 - (\xi_n/a)^2\right]} \right\} + \frac{kba}{\xi_r} J_1\left(\frac{\xi_r}{b} a\right) [b_0 + c_0] + 2kb^2 \sum_{m=1}^{\infty} (b_m + c_m) \frac{J_1\left(\frac{\xi_m}{b} a\right) J_1\left(\frac{\xi_r}{b} a\right)}{\xi_m \xi_r} = \frac{2kba}{\xi_r} J_1\left(\frac{\xi_r}{b} a\right) \quad r = 1, 2, 3, \dots \quad (26b)$$

$$\frac{\dot{F}^+(b, \alpha_r)}{(k + \alpha_r)N(\alpha_r)} = \frac{b}{2} \sum_{m=0}^{\infty} \frac{J_0(\xi_m)(k + \alpha_m)}{2\alpha_m} \left\{ \frac{(g_m + i\alpha_m h_m)N^+(\alpha_m)}{(\alpha_r + \alpha_m)} - \frac{(g_m - i\alpha_m h_m)e^{i\alpha_m l}}{L^+(\alpha_m)} A_{rm} \right\} \quad (27a)$$

$$\frac{\dot{F}^-(b, -\delta_r)L^(-\delta_r)}{(k + \delta_r)} = \frac{b}{2} \sum_{m=0}^{\infty} \frac{J_0(\xi_m)(k + \alpha_m)}{2\alpha_m} \left\{ (g_m + i\alpha_m h_m)N^+(\alpha_m)C_{rm} + \frac{(g_m - i\alpha_m h_m)e^{i\alpha_m l}}{(\alpha_m + \delta_r)L^+(\alpha_m)} \right\} - \frac{i}{2\pi} \sum_{m=0}^{\infty} S_m(k + \delta_m) \left\{ N^+(\delta_m)e^{i\delta_m l} - \frac{1}{L^+(\delta_m)(\delta_m + \delta_r)} \right\} \quad (27b)$$

(26a) ve (26b) denklem takımı elde edilmiş olur. $\dot{F}^+(b, \alpha)$ ve $\dot{F}^-(b, \alpha)$ 'nın yaklaşık çözümünü bulmak için, büyük argümanlarda $W_{-1/2}(\zeta)$ fonksiyonun asimtotik davranışını:

$$W_{-1/2}(\zeta) \approx \frac{1}{\zeta} \quad (26c)$$

olarak almak uygun olacaktır. (23a)'da $\alpha = -\delta_1, -\delta_2, -\delta_3, \dots, -\delta_N$ ve (23b)'de $\alpha = k, \alpha_1, \alpha_2, \dots, \alpha_N$ değerleri ve (26a,b) ile birlikte $3(N+1)$ denklem elde ederiz. Bu denklemlerdeki bilinmeyen sayıımız da $3(N+1)$ dir. Bu denklemlerin çözümünden:

$$\dot{F}^+(b, k), \dot{F}^+(b, \alpha_1), \dot{F}^+(b, \alpha_2), \dots, \text{ve} \\ \dot{F}^-(b, -\delta_1), \dot{F}^-(b, -\delta_2), \dot{F}^-(b, -\delta_3), \dots, \text{'ler}$$

kolaylıkla elde edilir.

$$A_{rm} = \left\{ -(kb)^2 \frac{N^+(k)}{L^+(k)(k + \alpha_m)} e^{ikl} W_{-1/2}(-il(\alpha_r + k)) + \frac{2k\pi b^2}{(a^2 - b^2)} \frac{N^+(k)e^{ikl}}{L^+(k)(k + \alpha_r)(k + \alpha_m)} \right. \\ \left. + \sum_{n=0}^{\infty} \frac{(k + \delta_n)N^+(\delta_n)H_1^1(Z_n a)e^{i\delta_n l}}{(k - \delta_n)H_1^1(Z_n b)L^+(\delta_n)(\delta_n + \alpha_m)(\delta_n + \alpha_r)\dot{M}(-\delta_n)} \right\} \quad (27c)$$

$$B_{rm} = \left\{ (kb)^2 \frac{N^+(k)}{L^+(k)} \frac{e^{ikl}}{(k + \delta_n)} W_{-1/2}(-il(\alpha_r + k)) - \frac{2k\pi b^2}{(a^2 - b^2)} \frac{N^+(k)e^{ikl}}{L^+(k)(k + \alpha_r)(k + \delta_m)} \right. \\ \left. - \sum_{n=0}^{\infty} \frac{(k + \delta_n)N^+(\delta_n)H_1^1(Z_n a)e^{i\delta_n l}}{(\delta_m + \delta_n)(k - \delta_n)H_1^1(Z_n b)L^+(\delta_n)(\delta_n + \alpha_r)\dot{M}(-\delta_n)} \right\} \quad (27d)$$

$$C_{rm} = \left\{ (kb)^2 \frac{N^+(k)}{L^+(k)(\alpha_m + k)} e^{ikl} W_{-1/2}(-il(\delta_r + k)) + \frac{1}{2} \sum_{n=0}^{\infty} \frac{N^+(\alpha_n)(k + \alpha_n)^2 e^{i\alpha_n l}}{\alpha_n(\delta_r + \alpha_n)(\alpha_n + \alpha_m)L^+(\alpha_n)} \right\} \quad (27e)$$

$$D_{rm} = \left\{ (kb)^2 \frac{N^+(k)}{L^+(k)(\delta_m + k)} e^{ikl} W_{-1/2}(-il(\delta_r + k)) + \frac{1}{2} \sum_{n=0}^{\infty} \frac{N^+(\alpha_n)(k + \alpha_n)^2 e^{i\alpha_n l}}{\alpha_n(\delta_r + \alpha_n)(\delta_n + \delta_m)L^+(\alpha_n)} \right\} \quad (27f)$$

(27a-b)' de verilen $\dot{F}^+(b, \alpha_r)$ ve $\dot{F}^-(b, \alpha_r)$ (18a-e) kullanarak:

$$\dot{F}^+(b, \alpha_r) = -\frac{b}{2} J_0(\xi_r)(g_r - i\alpha_r h_r) \quad (27g)$$

$$\dot{F}^-(b, -\delta_r) = \frac{i\delta_r}{\pi Z_r} \frac{J_1^2(Z_r b) - J_1^2(Z_r a)}{J_1(Z_r a)J_1(Z_r b)} f_r \quad (27h)$$

şeklinde ifade edebiliriz. (26a-b) ifadeleri, (27a,b) birlikte düşünülürse, b_n, c_n ve f_n katsayılarına ilişkin üç bilinmeyenli üç denklem bulunmuş olur. Bu katsayılar Gauss-Elimination metodu kullanılarak elde edilmiş ve nümerik hesaplamalar için kullanılmıştır.

Işınan alan ve nümerik hesaplamalar

$\rho > b$ bölgesinde toplam işınan alan $F(\rho, \alpha)$ 'nın ters Fourier dönüşümü yardımıyla elde edilir. (7a) ve (11) ifadelerinden:

$$u_1(\rho, z) = -\frac{1}{2\pi} \int_L \left\{ \frac{H_0^{(1)}(K\rho)}{K(\alpha)H_1^{(1)}(Kb)} \right. \\ \left. \times \left[\dot{F}_-(b, \alpha) + e^{i\alpha l} \dot{F}_+(b, \alpha) \right] e^{-i\alpha z} d\alpha \right\} \quad (28)$$

yazılır. Burada L reel α -eksenine paralel ve $\text{Im}(-k) < \text{Im}(\alpha) < \text{Im}(k)$ bandında bir çizgiyi göstermektedir. $H_0^{(1)}(K\rho)$ ' nun $k\rho \rightarrow \infty$ iken geçerli asimtotik ifadesi ve en dik iniş çizgisi yöntemi kullanılarak integralin değeri:

$$u_1(\rho, z) = \frac{i}{\pi} \left\{ \begin{array}{l} \frac{e^{ikr_1}}{kr_1} \frac{\dot{F}^+(b, -k \cos \theta_1)}{\sin \theta_1 H_1^{(1)}(kb \sin \theta_1)} \\ + \frac{e^{ikr_2}}{kr_2} \frac{\dot{F}^+(b, -k \cos \theta_2)}{\sin \theta_2 H_1^{(1)}(kb \sin \theta_2)} \end{array} \right\} \quad (29)$$

Burada r ve θ küresel koordinatları göstermektedir. Nümerik hesaplamalar sonucu, ışınan alanın gözlem açısına göre değişimi sonuçlar bölümündeki grafiklerde sunulmuştur.

Deneysel çalışma

Skaler dalgaların silindirik horndan işimasının analitik incelenmesi tamamlandıktan sonra, deneysel inceleme de yapılmıştır. Bunun için, paslanmaz çelik malzemeden bir horn hazırlanmış ve deneyden önce hornun iç yüzeyleri ile horn açıklık kısmı çeşitli pürüzlerden temizlenerek parlatılmıştır. Hornun dar olan kısmının yarıçapı ve boyu, düzlem dalganın oluşması için sırasıyla

12.7 mm ve 120 mm boyutlarında seçilmiş ve uyarıcı olarak sinyal üreticine bağlı bir hoparlör kullanılmıştır. Ölçümler, horndan 1 m uzaklıkta ve 0-180 derece arasında her 15 derecede bir yapılmıştır. Ölçümler, TÜBİTAK-UEKAE'de bulunan akustik yansımaz odada ve Brüel & Kjaer 2231 Ses Düzeyi Ölçer (SLM) ve frekans analiz modülü kullanılarak gerçekleştirilmiştir.

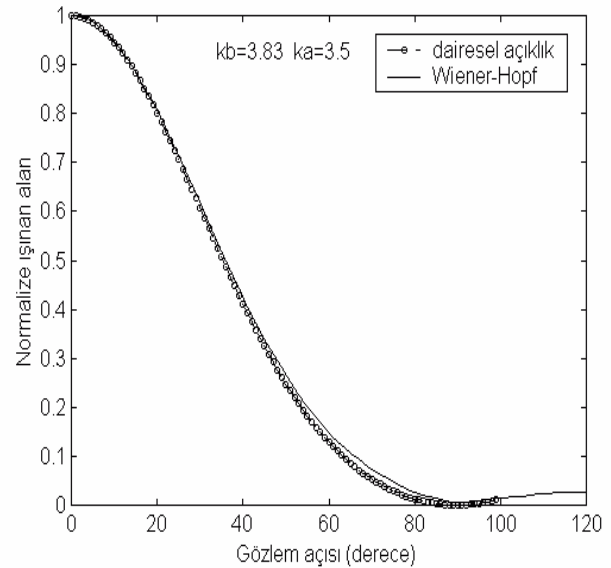
Sonuçlar

Bu çalışmada Şekil 1'de gösterilen dairesel kesitli silindirik horn içinden skaler dalganın ışınması incelenmiştir. Ele alınan problem riyid yapılı bir akustik bir dalga kılavuzunda:

a) kesit değişikliğine

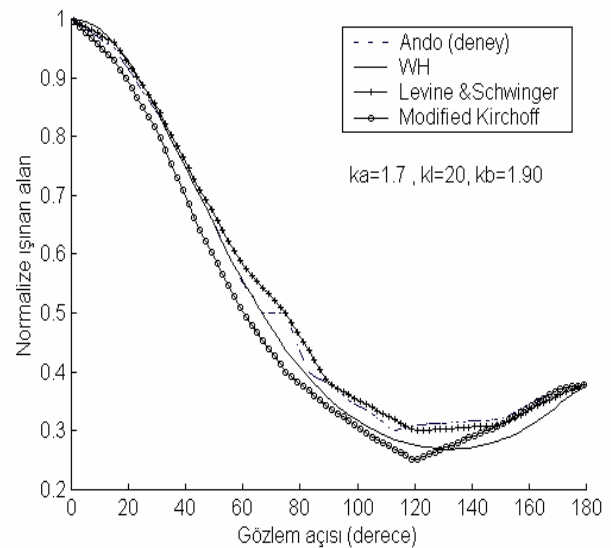
b) borunun açık ağzından uzaya ışınımı karşı düşen iki ardışık süreksızlığın analizi gibi düşünülebilir. Bu süreksızlıklar kendi başlarına ele alındıklarında çözüm hayli basitleşerek literatürde mevcut çalışmalara indirgenir. Gerçekten, kesit değişikliği problemi izole edildiğinde (yani farklı kesitli dalga kılavuzları üzerinde başka süreksızlık olmadığından, veya başka bir deyişle bunlar sonsuz uzunlukta ise) çeşitli yöntemlerle çözülebilir. Örneğin çalışmadaki formülasyonda da kullanılan modal fonksiyonlara dayalı Galerkin yöntemi benzer amaçlar için başka araştırmacılar tarafından sıkça uygulanan etkin bir yaklaşımdır. Benzer şekilde, akustik dalgaların yarı sonsuz bir dalga kılavuzundan serbest uzaya ışınımı problemi de kendi başına ele alındığında klasik Wiener-Hopf teknği yaklaşımı ile çözülebilir (Levine, 1948).

Bu çalışmada incelenen problemin literatürde mevcut çalışmalarдан farklı yukarıda sözü edilen iki ardışık süreksızlığı içermesidir. Dalga kılavuzunun horn adını verdigimiz bölümün sonlu ve kullanılan dalga boyu merteplerinde olması nedeniyle ortaya çıkan etkileşimler problemin her biri ayrı bir süreksızlığı temsil eden iki alt problem şeklinde basitleştirilmesini olanaksız kılar. Problemin yaklaşıcılık yapılmaksızın bir bütün olarak ele alınması zorunludur. Ele alınan problemin çözümü literatürde mevcut değildir. Bu nedenle, elde edilen sonuçların, bilinen hallerde indirgenmesine olanak veren değerleri kullanılarak doğrulanmasına önem verilmiştir.



Şekil 1. Silindirik horndan ışınma ile dairesel açıktan ışınmanın karşılaştırılması

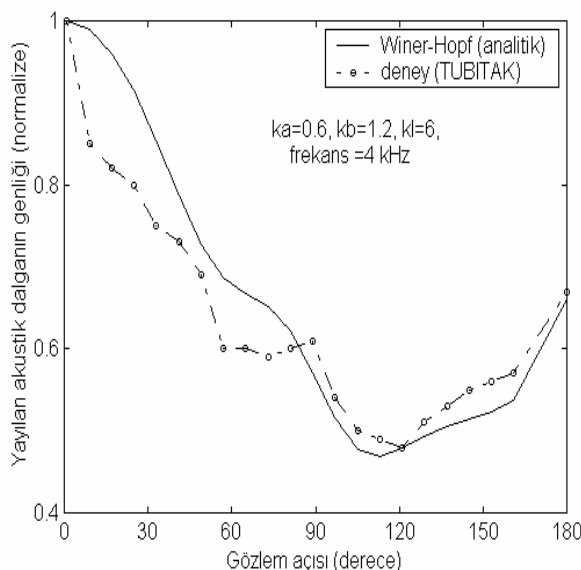
Bunun için uniform aydınlatılmış dairesel bir açıktan ışınma ile karşılaştırılmıştır (Şekil 1). Ayrıca, ışınan alanın genel davranışları itibarıyle doğrulanabilmesi için benzer bir yapı için literatürde mevcut olan (Ando, 1968) ölçüm sonuçları ile karşılaştırılma yapılmış ve burada da (Şekil 2) iyi bir uyum gözlenmiştir.



Şekil 2. Horn yönelikiliğinin gözlem açısına göre değişimi (kb=1.90)

Yukarıda açıklananlara ek olarak analitik sonuçların doğrulanması açısından yapılan deneySEL

çalışmaya hornun akustik basınç yönlendiriciliği elde edilmiştir (Şekil 3). Deneysel veriler 15° ’de bir ölçülen değerlerden elde edilmiştir. Diğer noktalardaki değerler ise interpolasyon yöntemiyle hesaplanmıştır. Şekil 6’dan anlaşıldığı gibi, silindirik horndan yayılan alanın gözlem açısıyla değişimi, deneysel ve analitik olarak yaklaşık aynı grafik zarfını göstermektedirler.



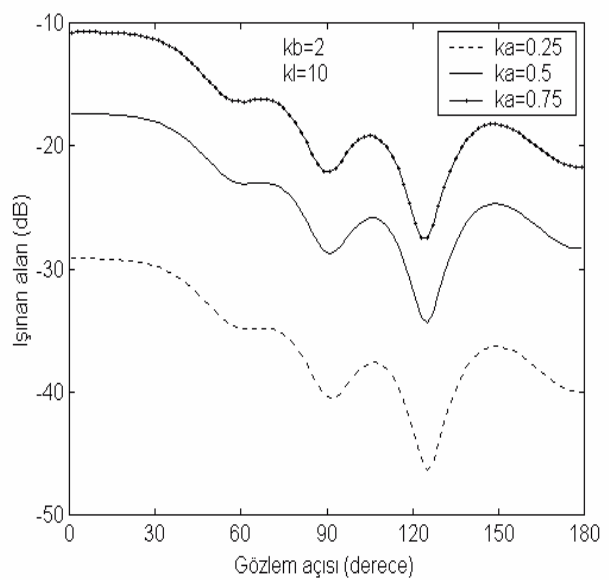
Şekil 3. Normalize işinan alanın gözlem açısıyla değişimi

Işinan akustik dalganın en büyük değeri, ölçüm noktasının hornun tam karşısında (gözlem açısının 0 derece) olduğu ölçümdede elde edilmiştir. Bu değer, gözlem açısının artan değerleriyle düşüş göstermiştir. Bu düşüş, gözlem açısının 120 derece olduğu ana kadar devam etmiş ve buradan sonra gözlem açısıyla birlikte artmaya başlamıştır.

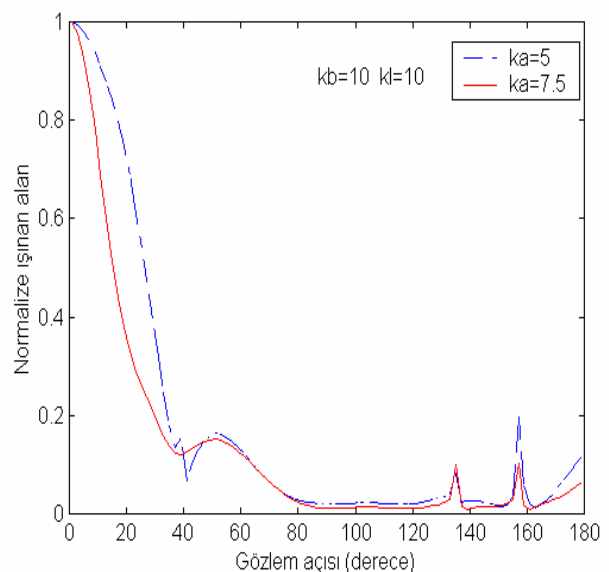
Ayrıca sayısal hesaplamalar sonucu elde edilen grafiklerden;

- işinan alanın, dalga kılavuzunun yarıçapıyla ters orantılı olarak değiştiği (Şekil 4),
- dalga kılavuzunun $ka > 3.83$ (J_1 Bessel fonksiyonun ikinci sıfırı) değerleri için $kb=10$ ve $kl=10$ alınarak normalize işinan alanın, gözlem noktasının bazı değerlerinde sıfıra yakın olduğu (Şekil 5),

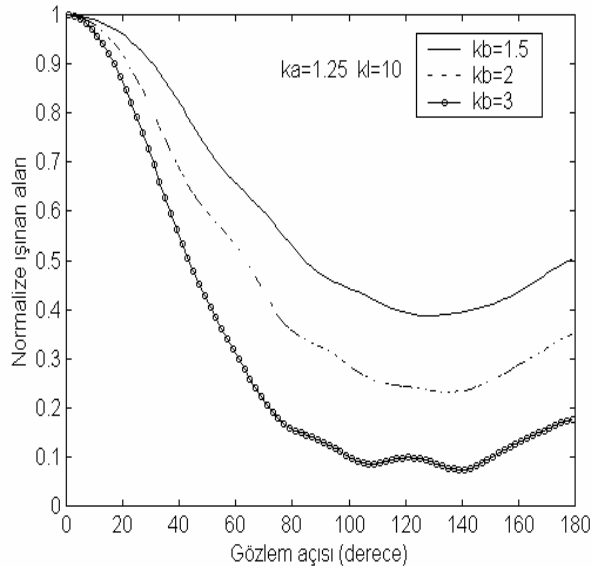
- işinan alanın hornun yarıçapıyla orantılı olarak azalmakta ve hornun yönelticiliğinin arttığı (Şekil 6),
 - hornun boyu arttıkça hornun yönelticiliğinde önemli bir değişim olmadığı (Şekil 7),
- gözlenmiştir.



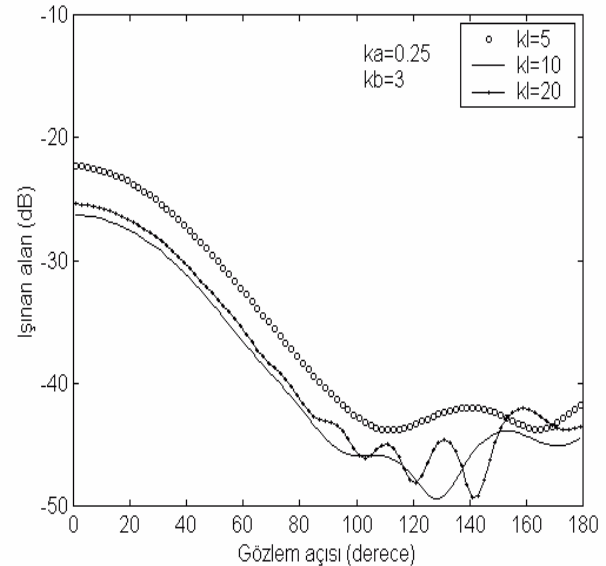
Şekil 4. İşinan alanın dalga kılavuzu yarıçapının değişik değerleri için gözlem açısı ile değişimi



Şekil 5. İşinan alanın dalga kılavuzu yarıçapının değişik değerleri için gözlem açısı ile değişimi



Şekil 6. Normalize ışınan alanın horn yarıçapının değişik değerleri için gözlem açısı ile değişimi



Şekil 7. ışınan alanın horn boyunun değişik değerleri için gözlem açısı ile değişimi

Kaynaklar

- Ando Y., (1968). Experimental Studies of the Pressure Directivity and the Acoustic Center of the Circular Pipe Horn Loud Speaker, *Acustica*, **20**, 366-369.
- Ando Y., (1969). On The Sound Radiation from Semi-Infinite Circular Pipe of Certain Wall Thickness, *Acustica*, **22**, 219-225.
- Büyükkaksoy, A. ve Polat B., (1998). Diffraction of Acoustic Waves by Semi – infinite Cylindrical Impedance Pipe of Certain Wall Thickness, *J. Eng. Math.*, **33**, 4, 333- 352.
- Levine H. ve Schwinger J., (1948). On the Sound Radiation of Sound from an Unflanged Circular Pipe, *J. Phys.Rev.*, **73**, 383.
- Rawlins, A. D., (1978). Radiation of Sound from an Unflanged Rigid Cylindrical Duct with an Acoustically Absorbing Internal Surface, *Proc. Roy. Soc. Lond. A*-**361**, 65-91.
- Sneddon I.H. (1972). The Use of Integral Transforms, Mc Graw Hill, Newyork.
- Türetken B., Büyükkaksoy A., Demir A., (2002) Radiation of Sound Waves from a Rigid Stepped Cylindrical Horn, *Journal of Engineering Mathematics* (to be published).
- Whittaker E. T., ve Watson G. N., (1902). Modern Analysis, Cambridge.
- Watson G. N., (1958). A Treatise on the Theory of Bessel's functions, Cambridge Univ. Press.